

АВТОФОКУСУВАННЯ ЕЛЕКТРОННОГО МІКРОСКОПУ ЗА ЗОБРАЖЕННЯМ

A.C. Краснопоясовський, А.М. Скаковська

Сумський державний університет
вул. Римського-Корсакова, 2, м.Суми, 40007
33-03-90, факс (0542) 33-40-58
E-mail: pm@ssu.sumy.ua

Розглядається застосування методу функціонально-статистичних випробувань (МФСВ), основаного на оцінці інформаційної здатності системи розпізнавання образів, для класифікаційної настройки (КН) складного об'єкту контролю та управління.

ВСТУП

Важливою задачею в електронній мікроскопії є автофокусування растрового електронного мікроскопу (РЕМ). Це особливо актуально, наприклад, при автоматичній класифікації об'єктів дослідження, яка вимагає додержання незмінних і однакових умов для прийняття високодостовірних рішень. До цього часу невідомі ефективні алгоритми розв'язання цієї задачі. Розглянемо підхід до розв'язання задачі автофокусування РЕМ за зображенням в рамках МФСВ [1,2].

1 ТЕОРЕТИЧНІ ТА МЕТОДОЛОГІЧНІ ПОЛОЖЕННЯ ПІДХОДУ

Фокусність зображення досліджуваного зразка залежить від багатьох факторів, які впливають на функціонування електронного мікроскопу. Для РЕМ в якості управлюючого контролюваного параметру виступає струм об'єктивної лінзи I_L . Ідея автофокусування РЕМ полягає в обчисленні інформаційної міри початкового (базового) розфокусованого зображення X_0 відносно

поточного зображення X_S , яке встановлюється на

S -ому кроці КН, порівнянні її значення з попереднім і прийнятті рішення про зміну управлюючого параметру на задану величину. Процес КН продовжується до тих пір, поки значення струму I_L не забезпечить прийнятної з практичної точки зору фокусності зображення. В якості критерію функціональної ефективності (КФЕ) КН розглянемо інформаційну міру Кульбака, яка є добутком відношення правдоподібності Λ на міру відхилень розподілів ймовірностей. В загальному випадку відношення правдоподібності подамо у вигляді

$$\Lambda = \log_2 \frac{P_t}{P_f} = \frac{p_1 D_1 + p_2 D_2}{p_1 \alpha + p_2 \beta}, \quad (1)$$

де $P_t = p_1 D_1 + p_2 D_2$, $P_f = p_1 \alpha + p_2 \beta$ - повні ймовірності правильного і неправильного прийняття рішень відповідно; p_1 , p_2 - априорні ймовірності появи відповідних подій; α , β , D_1 , D_2 - точні характеристики: помилки першого та другого роду, перша та друга достовірності відповідно. При допущенні, що $p_1 = p_2 = 0.5$ (найгірші в статистичному сенсі умови) міра Кульбака набуває вигляду

$$E = 0.5 \log_2 \left(\frac{D_1 + D_2}{\alpha + \beta} \right) [(D_1 + D_2) - (\alpha + \beta)] = \\ = \log_2 \left(\frac{2 - (\alpha + \beta)}{\alpha + \beta} \right) [1 - (\alpha + \beta)]. \quad (2)$$

При введенні оцінок $\alpha = k_1/n^*$, $\beta = k_2/n^*$,

де k_1, k_2 - число реалізацій класів X_0 і X_S відповідно, які не знаходяться в області своїх класів;

n^* - кількість спостережень, які забезпечують репрезентативність вибіркової послідовності. Тоді формула (2) набуває робочого вигляду

$$E = \frac{1}{n} \log_2 \left\{ \frac{2n + 10^{-r} - [k_1 + k_2]}{[k_1 + k_2] + 10^{-r}} \right\} * [n - (k_1 + k_2)], \quad (3)$$

де r - число цифр у мантисі значення критерію E , яке вводиться на випадок появи нульових емпіричних частот. В якості розділяючої гіперповерхні (РГП) у першому наближенні береться гіперсфера, центром якої є еталонний вектор (ЕВ) $x_0 \in X_0$.

2 ОБРОБКА ЗОБРАЖЕННЯ

Оскільки сучасні ЕОМ дозволяють розрізняти 256 градашій чорно-білого зображення, то його обробку доцільно здійснювати шляхом сканування рецепторного поля, що є природним для РЕМ, і побудови розподілу яскравості для кожного рядка рецепторів. Квантовані в часі криві розподілів яскравості розглядаються як випадкові реалізації зображення $\{g_{0,n}^{(j)}\}$, де $n = \overline{1, n^*}$; $j = \overline{1, J_{\max}}$ - змінна числа рецепторів у рядку.

З метою формування бітового масиву значень реалізацій $\{x_{0,n}^{(j)}\}$ здійснюється їх квантування на два рівні за формулою

$$x_n^{(j)} = \begin{cases} 1, & \text{if } A_H \leq g_n^{(j)} \leq A_B; \\ 0, & \text{if else,} \end{cases} \quad (4)$$

де A_H, A_B - нижній і верхній контрольний допуски на рецептори. Оптимізація контрольних допусків в інформаційному сенсі здійснюється безпосередньо в рамках алгоритму КН. За початкові значення A_H і A_B приймаються відповідно

$A_H = A_0 - \Delta$ і $A_B = A_0 + \Delta$, де A_0 - номінальне (середнє) значення яскравості зображення. Оскільки двобічне поле контрольних допусків вибрано симетричним, то початкове значення Δ дорівнює чверті шкали яскравості, тобто 64. Формування бінарного ЕВ базового класу X_0 здійснюється за формулою

$$x_0^{(j)} = \begin{cases} 1, & \text{if } \sum_{n=1}^{n^*} x_{0,n}^{(j)} \geq n^*/2; \\ 0, & \text{if else.} \end{cases} \quad (5)$$

Аналогічно обробляється поточне зображення X_S . Отже, в процесі обробки зображень X_0 і X_S здійснюється формування вхідних даних, які за МФСВ необхідні для обчислення інформаційної міри між базовим і поточним зображеннями. Такими вхідними даними є ЕВ x_0, x_s і відповідно випадкові реалізації $\{x_{0,n}^{(j)}\}, \{x_{s,n}^{(j)}\}$.

Визначення оптимальної в інформаційному сенсі кодової відстані d_0^* - радіуса РГП, здійснюється за послідовним алгоритмом

$$d_0(k) = d_0(k-1) + \begin{cases} h, & \text{if } E[d(k-1)] < E[d(k)]; \\ 0, & \text{if } E[d(k-1)] \geq E[d(k)], \end{cases}$$

де k - число прирошень радіуса; h - крок прирошення. Обчислення КФЕ закінчується при знаходженні екстремального значення $E^* = \max_{\{d\}} E$,

де $\{d\} = \{1, 2, \dots, d(x_0 \oplus x_s)\}$ - множина радіусів РГП класу X_0 ; $d(x_0 \oplus x_s)$ - міжцентрова кодова відстань.

Оптимізація контрольних допусків здійснюється після вибору d_0^* для базового класу X_0 , за алгоритмом $\{\delta_{k,i}\} = \{\delta_{k,i}^*\}$, якщо $E^*[\{\delta_{k,i}^*\}, d_0^*] = \max_{\{\delta_{e,i}^*\}} E^*[d_0^*]$, де $\{\delta_{e,i}\}$ - система нормованих полів допусків на рецептори.

3 ОПИС АЛГОРИТМУ

Означимо три класи функціонального стану РЕМ: X_H^0 , який відповідає прийнятній фокусності, тобто оцінці "НОРМА"; X_M^0 , який відповідає значенню параметру I_L "МЕНШЕ НОРМИ"; X_B^0 , який відповідає значенню параметру I_L "БІЛЬШЕ НОРМИ". Зрозуміло, що класи X_M^0 і X_B^0 мають розфокусовані зображення різного ступеню. Умовою запуску алгоритму є вихід РЕМ зі стану, що відповідає класу X_H^0 . За базовий клас X_0 приймаємо стан РЕМ на момент запуску алгоритму КН. На рис.1 наведено структурну схему алгоритму автофокусування РЕМ в рамках МФСВ.

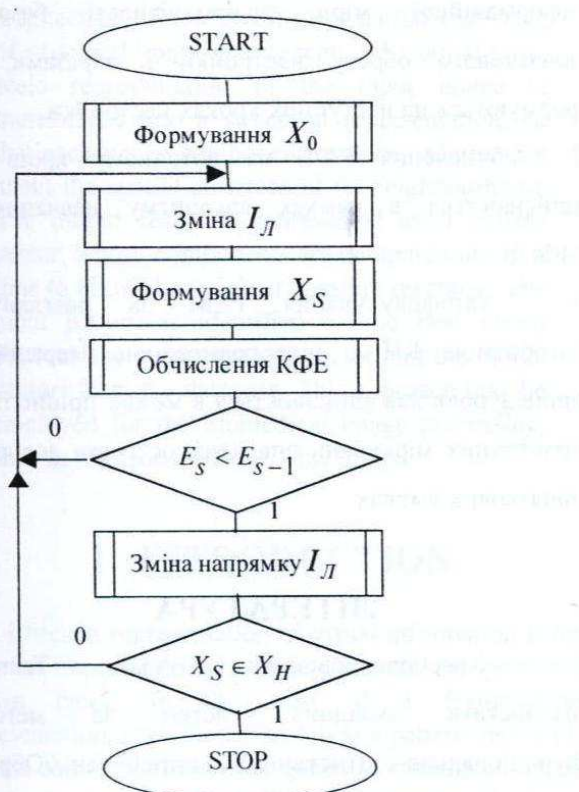


Рисунок 1.

Формування класу X_0 відбувається таким чином:

- 1 Зчитується масив значень яскравості зображення базового класу X_0 .

2 Здійснюється вибір початкових допусків A_H і A_B .

3 Формується бінарний масив $BM0[N, J]$ за процедурою (4).

4 Формується ЕВ $EV0[J]$ шляхом статистичного усереднення масиву $BM0[N, J]$ за процедурою (5).

Після визначення напрямку зміни струму I_L шляхом встановлення приналежності класу X_0 до одного із класів X_M^0 або X_B^0 обирається стратегія зміни I_L на кожному кроці КН.

Поточне зображення X_s формується аналогічно X_0 при незмінних контрольних допусках. КФЕ обчислюється за формулою (3) в рамках наведених процедур оптимізації параметрів навчання [2].

4 РЕАЛІЗАЦІЯ АЛГОРИТМУ

Реалізація розглянутого алгоритму здійснювалася для автофокусування серійного мікроскопу РЕМ-103 виробництва АТ СЕЛМІ (м.Суми, Україна), для якого сталій струм обмотки об'єктивної лінзи змінюється в діапазоні 0.3-2.0 А.

При цьому значення струму I_N , яке відповідає класу X_H^0 , знаходиться в інтервалі 1.08-1.32 А і залежить від багатьох внутрішніх і зовнішніх випадкових факторів функціонування РЕМ. Приложення струму I_L на кожному кроці КН здійснювалося шляхом поділу навпіл різниці між розрахованим (номінальним) і поточним його значеннями. На рис.2 наведено зображення досліджуваного зразка: базове розфокусоване зображення (рис. 2,а), зображення після першого кроку настройки (рис. 2,б) і екстремальне сфокусоване зображення (рис. 3,в).

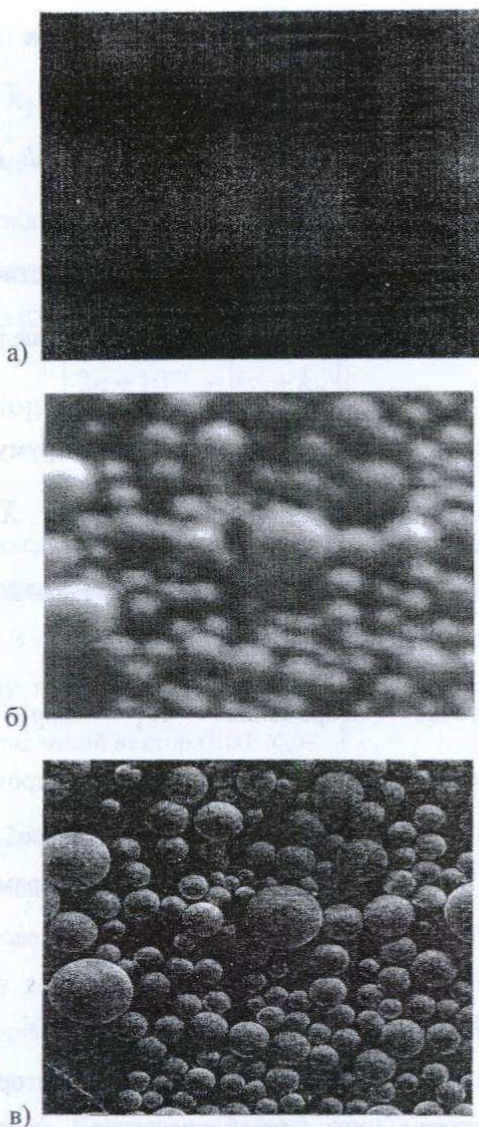


Рисунок 2.

На рис.3,а наведено значення нормованого критерію (3), при $S=1$ і на рис. 3,б - для екстремального кроку настройки. Тут P - площа робочої області значень КФЕ, яка обчислюється на кожному кроці КН за умови, що $D_1, D_2 \geq 0.5$, і на рис.3 визначається затемненою частиною графіку.

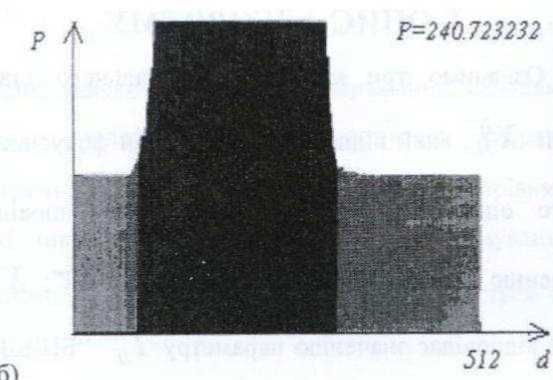
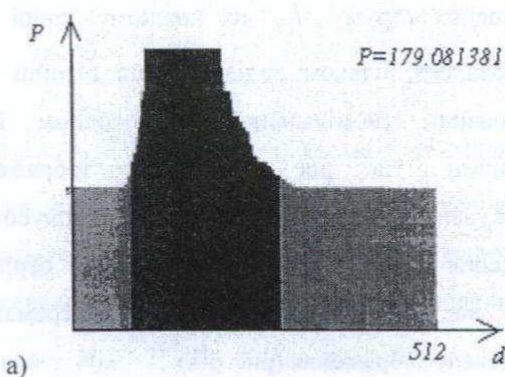


Рисунок 3.

Тривалість автофокусування для розглянутого базового зображення становила 5с, що обумовлено інерційністю управлюючої обмотки об'єктивної лінзи.

ВИСНОВКИ

- 1 Автонастройка складної системи розглядається як ітераційна процедура пошуку максимума інформаційної міри різноманітності базового початкового образу настройки і образами, що формуються на наступних кроках настройки.
- 2 Обчислення КФЕ на поточному кроці КН здійснюється в рамках алгоритму навчання за МФСВ.
- 3 Автофокусування РЕМ за розглянутим алгоритмом КН є цілеспрямованою ітераційною процедурою, яка здійснюється в межах прийнятної з практичних міркувань оперативності при довільних початкових умовах.

ЛІТЕРАТУРА

1. Краснопоясовський А.С. Технічна діагностика складних систем за методом функціонально-статистичних випробувань//Обробка сигналів та розпізнавання образів: Праці третьої Всеукраїнської міжнародної конференції, 1996.- С.174-177.
2. Краснопоясовський А.С., Черниш А.В. Оцінка функціональної ефективності навчання системи розпізнавання. Вісник СумДУ, 1997.-№2.- С.112-118.